

## مطالعه آزمایشگاهی میزان آبگذری سیستم آبگیری از کف با استفاده از محیط متخلخل تحت اثر جریان رسوبدار

بنیامین نقوی<sup>۱</sup> - سعیدرضا خداشناس<sup>\*</sup> - محمود فغفور مغربی<sup>۳</sup> - کاظم اسماعیلی<sup>۴</sup> - فاطمه کورش وحید<sup>۵</sup>

تاریخ دریافت: ۸/۱۲/۱۹

تاریخ پذیرش: ۸/۲/۲۷

### چکیده

از جمله روشهای مرسوم در آبگیری از رودخانه در مناطق کوهستانی، سیستم آبگیری از کف با استفاده از کفهای مشبک است. بروز مشکلات ناشی از آسیب دیدگی و زنگزدگی میله‌های شبکه در کف رودخانه، ایده جایگزینی یک محیط متخلخل تراوا با این سیستم را مطرح می‌کند. در این سیستم نیز مهمترین مسئله، گرفتگی فضای متخلخل و کاهش آبگیری از آن است. در تحقیق حاضر تأثیر توان عواملی همچون دانه بندی، رسوبات، شیب طولی محیط متخلخل و تغییرات دبی بررسی شد. نتایج آزمایشگاهی نشان داد با انتخاب دانه بندی و شیب مناسب (بر اساس نوع رسوبات موجود در رودخانه)، با وجود آنکه بخشی از فضای متخلخل توسط رسوبات معلق گرفته می‌شود، درصد کاهش دبی در گرفتگی حدی این محیط با حالت جریان بدون رسب (آب زلال) حاکی از گزندگی قابل قبول این سیستم در بلند مدت و عدم نیاز به نیروی انسانی چهت نگهداری آن است. به منظور تشخیص پارامترهای موثر بر مقاومت نفوذی ناشی از رسوبداری در آبگیر کفی با محیط متخلخل، با کمک قانون نفوذ سطحی دارسی معادله ای تجربی- تئوری معرفی شد که نشان میدهد مقاومت نفوذی در این نسبت انداره رسوبات و محیط متخلخل، عدد رینولدز و گرادیان هیدرولیکی است. نتایج نشان می‌دهند که معادله پیشنهادی با نتایج آزمایشگاهی هماهنگی مناسبی دارند.

### واژه‌های کلیدی: آبگیری از کف، محیط متخلخل، گرفتگی، انتقال رسب، کاهش دبی، مقاومت نفوذی

### مقدمه

استفاده قرار می‌گیرند (۷). کفهای مشبک، در ساخت جریان شکن‌های کوچک نیز بکار می‌روند (۱۴). در برخی حالات که ارتفاع آب پایین دست در کانالهای منشوری افزایش می‌یابد، می‌توان از کف مشبک به عنوان مستهلک کننده انرژی استفاده کرد. تمامی این سازه‌ها برای دستیابی به حداقل آب ممکن در حداقل طول طراحی شده‌اند. طراحی آبگیرهای بستر رودخانه به گونه‌ای است که بتواند در شرایط حدی نیز که کل بار بستر در طی سیلاب از روی کف مشبک عبور می‌کند آبگیری کنند و لذا برای کاهش پدیده گرفتگی غالباً از میله‌های طولی استفاده می‌شود (۱۶).

احداث این میله‌ها در کف رودخانه مشکلاتی به همراه دارد که از جمله مهمترین آنها آسیب دیدگی، زنگ زدگی و در نهایت از کارافتادگی آنها و همچنین مشکلات مربوط به نگهداری سیستم و تخلیه رسوبات است. به منظور فائق آمدن بر این مشکلات، ایده جایگزینی یک محیط متخلخل تراوا با این سیستم مطرح شد. هرچند این محیط نیز می‌تواند با محدودیتهایی همراه باشد اما هزینه کم طراحی و کارایی این سیستم در بلند مدت؛ تحقیق در این زمینه را

آبگیری از رودخانه به روشهای متعددی صورت می‌گیرد که هر یک ویژگیها و محدودیت‌های خاص خود را دارند. از جمله این روش‌ها می‌توان به سیستم آبگیری از کف با استفاده از کفهای مشبک اشاره کرد. این نوع آبگیرهای حاوی آشغالگیر که در بستر رودخانه‌ها قرار می‌گیرند، غالباً در رودخانه‌های نسبتاً کوچک کوهستانی که در آنها شیب تند، بستر نامنظم، رسوبات انتقالی زیاد و سیلابهای ناگهانی مانع از استفاده از سدهای دریچه‌دار می‌شود مورد

۱- دانشجوی کارشناسی ارشد سازه‌های آبی، گروه مهندسی آب، دانشکده کشاورزی، دانشگاه فردوسی مشهد  
۲- استادیار گروه مهندسی آب، دانشکده کشاورزی، دانشگاه فردوسی مشهد  
\*(Email: Saeedkhodashenas@yahoo.fr)

۳- دانشیار گروه مهندسی عمران، دانشکده فنی و مهندسی، دانشگاه فردوسی مشهد

۴- استادیار گروه مهندسی آب، دانشکده کشاورزی، دانشگاه فردوسی مشهد

۵- دانشجوی کارشناسی ارشد سازه‌های آبی، گروه مهندسی آب، دانشکده کشاورزی، دانشگاه فردوسی مشهد

$$k(t) = \frac{gL}{v(rm_s + \beta)} = \frac{gL}{v\left(r\frac{C_{VA}}{A_F} + \beta\right)} = \frac{gL}{v\sqrt{\beta^2 + \frac{2g\Delta h}{v}rCt}} \quad (2)$$

که در آن  $L$  طول نشت (m)،  $V$  ویسکوزیته سینماتیک ( $m^2/s$ )،  $r_A$  نرخ نشت تجمعی (حجم نشت) ( $m^3$ )،  $A_F$  سطح نفوذ ( $m^2$ )،  $\beta$  مقاومت نفوذی ویژه ( $kg/m^3$ )،  $C$  غلظت بار معلق ( $m/kg$ )،  $g$  مقاومت نفوذی بستر رودخانه تمیز ( $m^{-1}$ )،  $\Delta h$  بار فشاری (m) و  $k$  شتاب ثقل ( $m/s^2$ ) است. تغییرات زمانی  $t$  در رودخانه های شنی از روندی معمولی پیروی می کند که منعکس کننده ورود و شسته شدن رسوبات ریزدانه است.

مطالعات آزمایشگاهی وو و هوانگ (۲۳) بر روی ترسیب آنی رسوبات رها شده در محیط متخلخل و مقاومت هیدرولیکی ایجاد شده نشان داد که رابطه تغییرات هدایت هیدرولیکی با ته نشینی رسوبات بصورت زیر است:

$$k(\sigma_s) = \frac{gL}{v\sqrt{\beta^2 + \frac{2g\Delta h}{v}r'\sigma_s}} \quad (3)$$

در معادله فوق  $r'$  مقاومت هیدرولیکی ناشی از لای گذاری سریع و  $\sigma_s$  تراز ته نشینی است.

مطالعات بنک (۵)، ساکسیوادیول و اینشتین (۱۷) و کانینگهام و همکاران (۱۰) نشان می دهد که فرآیند لای گذاری در محیط متخلخل توسط سه فاکتور اصلی کنترل می شود. این سه فاکتور عبارتند از اندازه ذرات رسوب و شن، غلظت رسوبات و سرعت جریان نشت. نسبت اندازه مصالح محيط متخلخل درشت دانه به رسوبات می تواند توسط یک پارامتر ساده به نام نسبت اندازه ذرات  $R_S$  به صورت زیر تعریف شود (۲۱ و ۲۲):

$$R_S = \frac{(D_{15})_{Gr}}{(d_{85})_{sed}} \quad (4)$$

که در آن  $(D_{15})_{Gr}$  و  $(d_{85})_{sed}$  به ترتیب قطر الکی است که ۱۵ و ۸۵٪ دانه بندی محیط متخلخل و رسوبات از آن ریزترند.

مطالعات وو و هوانگ (۲۳) نشان داد که نسبت اندازه  $R_S$ ، فاکتور حاکم بر توزیع ته نشینی رسوبات است. طبق گزارش ساکسیوادیول و اینشتین (۱۷) هنگامی که نسبت اندازه بزرگتر از ۱۵ باشد، کمتر از ۱٪ حجم منافذ کل با رسوبات ته نشین شده اشغال می شود.

تان و همکاران (۲۲) برای پیش بینی کاهش نفوذپذیری بستر نفوذپذیر با استفاده از معادله کوزنی - کارمن و بر اساس  $k_0$  نفوذپذیری قائم اولیه بستر نفوذپذیر ( $m/s$ ),  $n$  متخلخل، مقدار ماده مسدود کننده و ضریب تجربی آزمایشگاهی  $\alpha$  که تابعی از نسبت اندازه  $R_S$  و ضریب یکنواختی آنها  $C$  است، فرمول تئوری - تجربی زیر را ارائه دادند:

ضروری می کند. از جمله محدودیتها که برای این سیستم می توان متصور شد، مشکلات مربوط به رسوبگیری و عدم گذردهی و در نتیجه آبگیری مناسب از این نوع آبگیر است. لذا باید با انتخاب مناسبترین دانه بندی و اعمال اقدامات لازم جهت بهینه سازی این طرح، مشکلات مربوط به رسوبگیری را به حداقل رساند. آبگیری از چنین محیط متخلخلی را می توان با گذردهی جریان از بستر رودخانه به سمت آبهای زیرزمینی و گرفتگی و آبگذری فیلترها مقایسه کرد.

مطالعات شالشلی (۲۰) در خصوص لای گذاری در بستر رودخانه و محیطهای متخلخل نشان می دهد کاهش هدایت هیدرولیکی  $k$  اساسا به تنش برší بی بعد جریان  $C$ ، غلظت بار معلق  $C$ ، گرادیان هیدرولیکی مابین رودخانه و آب زیرزمینی  $i$  و توزیع دانه بندی بستر رودخانه  $d_{10}/d_m$  بستگی دارد که در آن  $d_m$  اندازه میانه ذرات تشکیل دهنده بستر است.

مدل طراحی فیلترها که توسط بارتون و بوشبرگ (۴) ارائه شده، تاثیر شکل دانه های مختلف در انتقال و نگهداری ذرات را نشان می دهد. در مورد قابلیت گرفتگی فیلترها هرچه دانه بندی ذرات تیزگوشه تر باشد، بازه گسترده تری از ذرات می تواند در فضای فیلتر قرار گیرد و فیلتری که گرفتگی عمقی را افزایش دهد، ذرات بیشتری را با افت انرژی کمتر می گیرد (۱۷). به منظور افزایش عملکرد فیلترها در جهت جلوگیری از خروج مواد بستر و اطمینان از نفوذپذیری کافی، لون و همکاران (۱۳) پارامتر  $d^*$  را به عنوان اندازه منفذ کنترل طراحی فیلتر به شکل زیر معرفی کردند:

$$d^* = \frac{8d_{85}}{C_{uB} + 4.72} \quad (1)$$

در معادله فوق  $d_{85}$  قطر الکی است که ۸۵٪ دانه بندی مواد بستر از آن ریزتر بوده و  $C_{uB}$  نیز ضریب یکنواختی مواد بستر است. برای یک بستر مشخص، متغیرهای فیزیکی همچون شرایط جریان، بار معلق، توزیع دانه بندی و شکل ذرات معلق، گرادیان هیدرولیکی جریان نشتی و جهت آن می تواند تاثیر عمده ای بر فرآیند گرفتگی بگذارند (۱۹) و (۲۰). گرفتگی بسترها نفوذپذیر توسط ذرات خارجی می تواند ظرفیت زهکشی و ذخیره آنها را شدیدا کاهش داده و نفوذ رواناب سطحی به داخل بستر یا لایه نفوذپذیر را با مشکل مواجه کند (۱۲) و (۲۱). بستر رودخانه در نتیجه ترسیب و انباشتگی رسوبات ریزدانه چار گرفتگی شده و ترکیبات آب زیرزمینی، تغذیه آب زیرزمینی از بستر رودخانه، ظرفیت سیستم چاه و کیفیت آب زیرزمینی منطقه را تحت تاثیر قرار می دهد. ترسیب مواد معلق باعث کاهش هدایت هیدرولیکی و شسته شدن بستر باعث افزایش هدایت هیدرولیکی کف رودخانه می شود (۲۰). شالشلی (۲۰) فرآیند لای گذاری و گرفتگی بستر رودخانه را با تغییرات  $k$  در واحد زمان بصورت زیر توصیف کرد:

### مواد و روشها

به منظور شبیه سازی آبگیر کفی با محیط متخلخل سنگدانه ای از سه حجم مکعب مستطیلی با طول ۰،۲۰ عرض ۳۰ و ارتفاع ۱۰ سانتی متر استفاده شد. برای ایجاد شبیه های ۰،۰ و ۰،۲۰٪ در سطح فوقانی محیط متخلخل، ارتفاع وجه بالادست به ترتیب ۰،۰ و ۰،۴ سانتیمتر بیش از وجه پایین دست اختیار شد. انتخاب شبیه های مذکور بر اساس توصیه ها و مطالعات انجام شده توسط کار محققین استوار بوده است (۸) و (۹). محیط متخلخل با ۳ نوع دانه بنده مختلف P1، P2، P3 و S1، S2، S3 و S4 در بالادست محیط متخلخل به صورت بار بستر استفاده شد (شکل ۲). با توجه به حداقل دیجی و حداقل زمان اجرای آزمایش و همچنین محاسبات مربوط به انتقال بار بستر، بستر رسوبی به ارتفاع ۵ سانتیمتر و طول ۰/۵ متر ایجاد شد. در این حالت حجم رسوبی که در این فضا جهت ایجاد گذردهی پایدار حدی قرار می گیرد کافی بوده و سیستم با کمبود رسوب مواجه نخواهد شد.

با توجه به اینکه از جمله پارامترهای مهم و دخیل در این آزمایش نسبت اندازه رسوبات و سنگدانه هاست، لذا  $R_S$  مربوط به رسوبات و سنگدانه های محیط متخلخل در جدول ۱ آورده شده است.

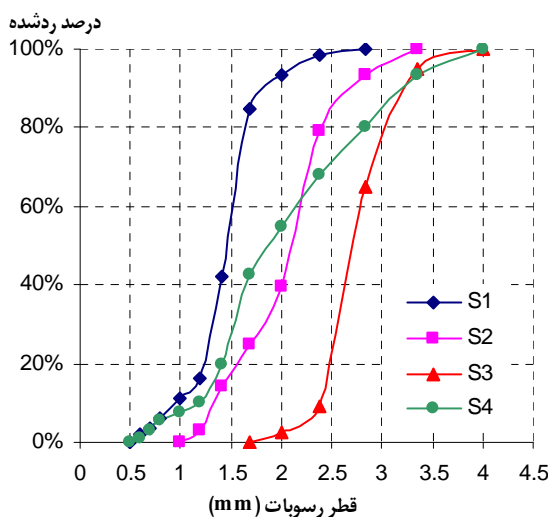
$$k = k_0 \frac{(1-n)^2}{n^3} \frac{(n-\alpha\sigma)^3}{[1-(n-\alpha\sigma)]^2} \quad (5)$$

در معادله فوق  $\sigma$  ته نشینی ویژه و یا نسبت حجم رسوب ته نشین شده ( $\forall_C$ ) به حجم کل محیط متخلخل ( $\forall_T$ ) بوده و به شکل زیر تعریف می شود:

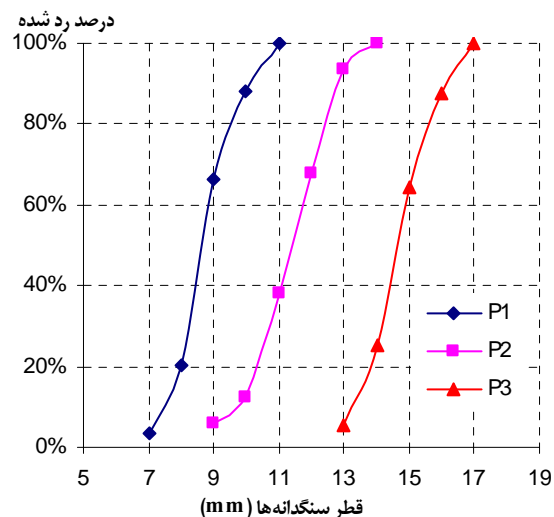
$$\sigma = \frac{\forall_C}{\forall_T} \quad (6)$$

طبق گزارش ساکسیوادیول و اینشتین (۱۷)، ذرات معلق رسوب با قطری برابر یا بزرگتر از نصف میانگین قطر منافذ خاک ته نشین خواهند شد و با گذر زمان حجم خاک را کاملا مسدود خواهند کرد و ذرات معلق رسوب با قطری کمتر از نصف میانگین قطر منافذ خاک در منافذ ایستا سقوط خواهند کرد و یا با فشار جریان شسته یا پرتاب شده و در نتیجه نیروی چسبندگی درون ذره ای به دیگر ذرات می چسبند.

هدف از تحقیق حاضر بررسی رفتار هیدرولیکی آبگیر کفی با محیط متخلخل می باشد. در این رابطه مقایسه این رفتار با رفتار آبگیرهای کفی مشبك و همچنین بررسی امکان گرفتگی و کاهش کارایی سیستم در گذردهی مطلوب، از اولویت تحقیقاتی بیشتری برخوردار بوده است.



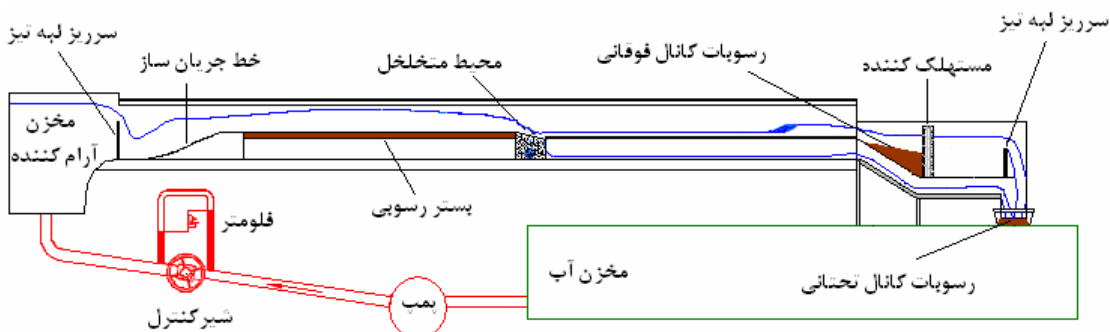
(شکل ۲)- منحنی دانه بنده رسوبات



(شکل ۱)- منحنی دانه بنده سنگدانه ها

(جدول ۱)- نسبت اندازه دانه‌بندی‌ها و رسوبات مختلف ( $R_s$ )

نوع دانه بندی			نوع رسوپ
P3	P2	P1	
۸/۰۷	۶/۰۴	۴/۶۴	S1
۵/۳	۳/۹۶	۲/۰۵	S2
۴/۳۴	۳/۲۵	۲/۵۰	S3
۴/۵۲	۳/۳۸	۲/۶۰	S4



(شکل ۳)- مدل آزمایشگاهی مربوط به آزمایشات با رسوپ کف

گذردهی کanal انحراف ثبت شد. مشاهده شد که در تمامی آزمایشات، مدت زمان لازم برای آنکه دبی کanal تحتانی به حد ثابتی برسد، بر حسب نوع دانه بندی محیط، نوع رسوبات و دبی کanal حدود ۱۵ الی ۲۰ دقیقه است.

#### نتایج

آنالیز ابعادی نشان می‌دهد که دبی کanal انحراف در جریان رسوبدار ( $Q_{ds}$ ) تابع متغیرهای مستقل ذیل است:

$$Q_{ds} = f(Q_T, D_x, d_x, R_s, S_p, \sigma) \quad (7)$$

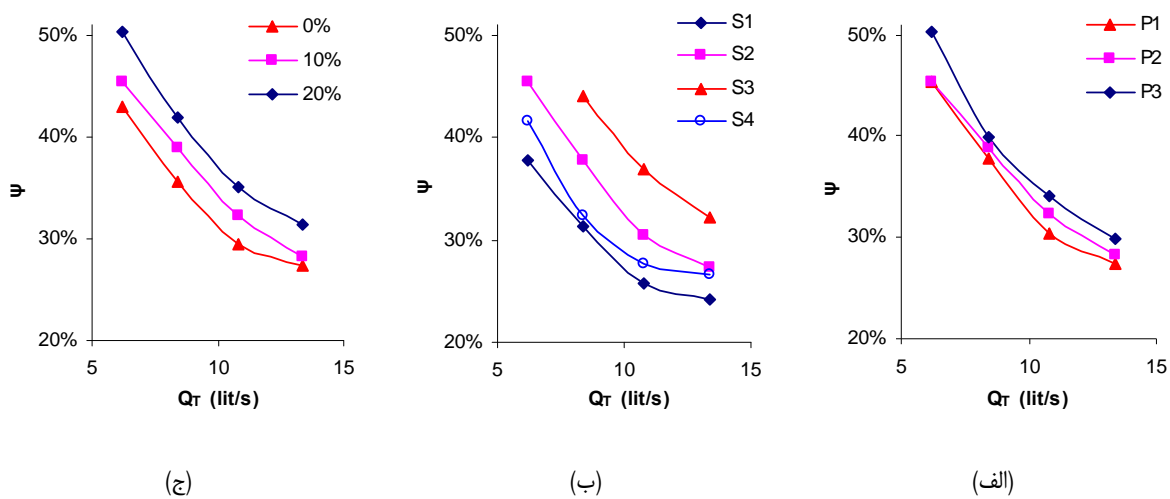
که در آن  $Q_T$  دبی کanal اصلی،  $D_x$  و  $d_x$  به ترتیب قطر دانه بندی محیط متخلخل و رسوبات و  $\sigma$  قطر الکی است که  $\%x$ ٪ دانه بندی محیط متخلخل و رسوبات از آن ریزترند.  $S_p$  شیب محیط متخلخل و  $\sigma$  ته نشینی ویژه است که در رابطه (۶) تعریف شد.

با بکارگیری داده های مربوط به میزان دبی عبوری از کanal تحتانی در شرایط بدون رسوپ (۲) و دبی بدست آمده در جریان رسوبدار، میزان گذردهی جریان تحت شرایط جریان با رسوپ نسبت به شرایط بدون رسوپ را می‌توان ارزیابی نمود:

$$R_Q = \frac{Q_{ds}}{Q_d} \quad (8)$$

آزمایشات در یک فلوم آزمایشگاهی با عرض ۳۰ cm، ارتفاع ۵۰ cm و طول ۱۰m انجام شد. در شکل ۳ مدل آزمایشگاهی همراه مقطع مورد آزمایش به صورت شماتیک نشان داده شده است. به منظور ایجاد آبگیر کفی به عنوان کanal انحراف، از یک کanal دو طبقه استفاده شد و محیط متخلخل در فاصله ۵ متر از بالادست قرار گرفت. در محل محیط متخلخل مقداری از آب از روی آن عبور کرده و در کanal فوکانی ادامه مسیر می‌داد و بخشی از آن از داخل محیط سنگدانه‌ای وارد کanal تحتانی شده و آبگیری از کف صورت می‌گرفت. انتقال رسوپ به صورت سیستم بسته بود به این ترتیب که در انتهای فلوم و در محل ورود آب به داخل مخزن، رسوبات عبوری از کanal تحتانی جمع آوری می‌شد. در انتهای فلوم و در کanal فوکانی با استفاده از یک سریز دبی کanal فوکانی اندازه گیری می‌شد. اختلاف قرائت سریز بالادست و پایین دست معادل دبی کanal تحتانی بود. رسوبات عبوری از روی محیط متخلخل نیز در کanal فوکانی و در پشت سریز ابانته می‌شد.

برای مجموع آزمایشات که شامل تغییر ۳ نوع دانه بندی، ۴ نوع رسوپ و ۳ شیب محیط متخلخل است،  $4 \text{ دبی } / ۲ \text{ متر } / ۲ \text{ سریز } / ۱۰/۸ \text{ متر } / ۴ \text{ شیب } / ۱/۴ \text{ لیتر بر ثانیه}$  اندازه گیری شد که کنترل آن توسط فلومتر و یک سریز در بالادست صورت گرفت.  $6/2 \text{ دبی بر ثانیه}$  قادر به عبور رسوبات  $S_3$  نبود و لذا در مجموع  $135 \text{ لیتر بر ثانیه}$  قرائت دبی صورت گرفت. شیب طولی کanal در تمام آزمایشات ثابت و برابر  $0/005$  در نظر گرفته شد. در طی ۳۰ دقیقه زمان آزمایش، روند تغییرات زمانی

(شکل ۴)- بررسی عوامل مختلف بر روند تغییرات  $\Psi$  در دبیهای مختلف.

گذردهی نسبی یک دانه بندی مشخص با رسوبرات درشت دانه تر بیشتر بوده است. این مطلب متأثر از نسبت  $R_s$  است به طوریکه گرفتگی رسوبرات ریزدانه و دانه بندیهای درشت دانه بیشتر بوده و در این حالات درصد کاهش  $\Psi$  بیشتر از دیگر حالات است. صرف نظر از رسوبرات S4، در انواع دیگر رسوبرات مشاهده می شود که همواره در دانه بندی و شیبهای مختلف، گذردهی نسبی دانه بندیهای مختلف تحت تاثیر رسوبرات S3 بیشتر از S2 و S2 بیشتر از S1 است. رسوبر S4 مخلوط رسوبرات قبلی بوده که به عبارتی حالت واقعی رسوبرات در طبیعت محاسبه می شود.  $\Psi$  در این نوع رسوبر غالباً بین رسوبرات S1 و S2 بوده و لذا در طبیعت نیز باید انتظار گذردهی نسبی در حدود ۲۵ تا ۴۰ درصد را داشت.

در نمودار ۴-(ج) مشاهده می شود که در شیب  $\Psi = 20\%$  بیشترین و در شیب  $\Psi = 40\%$  کمترین گذردهی از کanal تحتانی در خواهد بود. در توضیح علت گذردهی بهتر کanal تحتانی در شیبهای بیشتر باید گفت که رسوبرات ورودی به محیط متخلخل غالباً در لایه سطحی ابانته می شوند و یک لایه غیر قابل نفوذ را ایجاد می کنند. البته بسته به نوع  $R_s$  محیط نحوه گرفتگی متفاوت خواهد بود اما گرفتگی سطحی تقریباً در تمام حالات رخ می دهد. در شیبهای کم رسوبرات مستقیماً به محیط متخلخل راه پیدا کرده و با گذر زمان و عبور رسوبرات بیشتر، گرفتگی لایه سطحی بیشتر شده و نفوذ آب به لایه های پایینی محیط به سختی صورت می گیرد. اما در شیبهای زیاد به خاطر وجود شیب با وجود آنکه رسوبرات در فضاهای خالی محیط سنگدانه ای نفوذ کرده و گذردهی را کاهش می دهنند اما رسوبرات لایه سطحی غالباً با جریان شسته شده و لایه سطحی در این حالت به اندازه شیب صفر دچار گرفتگی نمی شود. به عبارت دیگر نفوذ پذیری لایه سطحی در شیبهای

در رابطه فوق  $Q_d$  دبی کanal تحتانی در حالت جریان بدون رسوبر (آب زلال) و  $Q_{ds}$  دبی کanal تحتانی در حالت رسوبردار است. میزان گذردهی نسبی جریان را تحت تاثیر عوامل موجود می توان به طور جداگانه تفسیر کرد. علاوه بر این برای بررسی تغییرات دبی کanal انحراف در دبیهای مختلف می توان از نسبت بی بعد  $\Psi$  بصورت ذیل بهره برد:

$$\Psi = \frac{Q_{ds}}{Q_T} \times 100 \quad (9)$$

با مکمک این پارامترهای بی بعد، تاثیر هریک از ۴ متغیر مستقل شامل نوع دانه بندی محیط متخلخل، رسوبرات، شیب محیط متخلخل و دبی در قالب نمودارهایی برای بررسی گذردهی کanal تحتانی مورد بررسی قرار گرفت.

در شکل ۴ نمونه ای از روند تغییرات  $\Psi$  در دبیهای مختلف تحت تاثیر هریک از متغیرهای مستقل نشان داده شده است. مشاهده می شود که در کلیه حالات با افزایش دبی درصد عبور دبی تحتانی به دبی کله کاهش می یابد و لذا بهترین گذردهی کanal تحتانی در دبیهای کم رخ می دهد. همچنین همواره با افزایش دبی  $\Psi$  کاهش می یابد که این امر به خاطر فرار آب از روی سطح محیط متخلخل و کاهش برخورد جریان آب با محیط متخلخل در دبیهای بالا و غلبه نیروهای هیدرودینامیکی بر نیروی ثقل است که مانع از گذر بیشتر آب از کanal تحتانی می شود.

با توجه به شکل ۴-(الف) بیشترین گذردهی برای دانه بندی های بزرگتر رخ می دهد، هرچند نسبت قطر سنگدانه ها به رسوبرات در تغییر درصد گذردهی نقش بسزایی دارد. در نمودار ۴-(ب) مشاهده می شود که همواره رسوبرات ریزدانه گرفتگی بیشتری ایجاد کرده اند و لذا

رسوب قابلیت گذردهی دارد.

شکل ۵-(ج) نشان می‌دهد که همواره با افزایش شیب نسبت گذردهی در کanal انحراف افزایش می‌یابد. روند تغییرات  $R_Q$  نسبت به افزایش دبی صعودی است اما در هر شیب نسبت این تغییرات جزئی است و حداقل افزایش گذردهی نسبی حدوداً ۵٪ است. علت گذردهی بهتر در شبیهای بالاتر نیز کاهش گرفتگی محیط متخلخل در این شبیهای است. در تمامی نمودارهای شکل ۵ مشاهده می‌شود که با افزایش دبی، گذردهی جریان رسوبدار و زلال به یکدیگر نزدیک می‌شوند.

به منظور بررسی روند تغییرات دبی کanal تحتانی به دبی کل در جریان رسوبدار و زلال، در یک حالت نمونه (شکل ۶) مشاهده می‌شود که با افزایش دبی، اختلاف ۲۰٪ در جریان زلال و رسوبدار از ۲۰٪ در دبیهای پایین به ۷٪ در دبیهای بالا کاهش می‌یابد که نشان می‌دهد عامل گرفتگی در دبیهای کمتر موثرتر است.

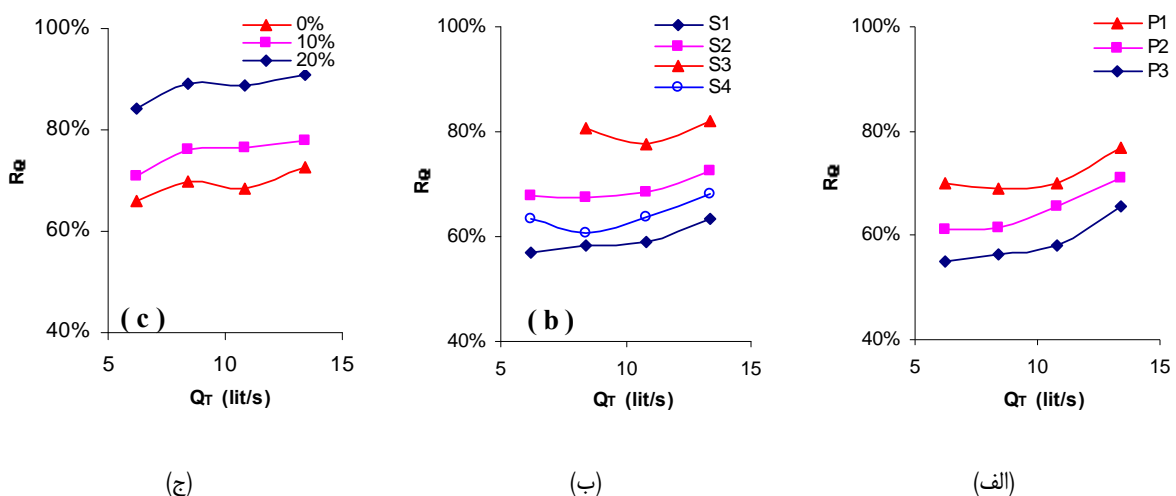
طبق گزارش دیپلاس (۱۱) با افزایش دبی، رسوبات بیشتری از محیط متخلخل شسته شده و لذا با گرفتگی کمتر محیط متخلخل گذردهی آن افزایش می‌یابد. همچنین با افزایش تنفس برشی و به خاطر تاثیر نیروهای هیدرودینامیکی رانش و برآ که مانع از ته نشینی رسوبات می‌شوند، میزان ته نشینی ذرات بطری قابل توجهی کاهش یافته و حجم بیشتری از رسوبات به پایین دست انتقال می‌یابند (۳). در نتیجه با وجود کاهش سطح تماس آب با محیط متخلخل در دبیهای بالا، کاهش گرفتگی سبب افزایش نسبی گذردهی کanal تحتانی می‌شود. کاهش اختلاف در گذردهی کanal تحتانی در دبیهای بالا برای جریانهای زلال و رسوبدار باعث افزایش نسبی  $R_Q$  می‌شود.

بالاتر بیشتر بوده و لذا محیط متخلخل دبی بیشتری را از خود عبور می‌دهد. علاوه بر این در شیب صفر سرعت جریان روی محیط متخلخل کمتر و امكان ته نشینی بیشتر است در شبیهای غیر صفر به خاطر وجود شیب سرعت عبور رسوبات از روی محیط متخلخل افزایش یافته و امكان ته نشینی کاهش می‌یابد.

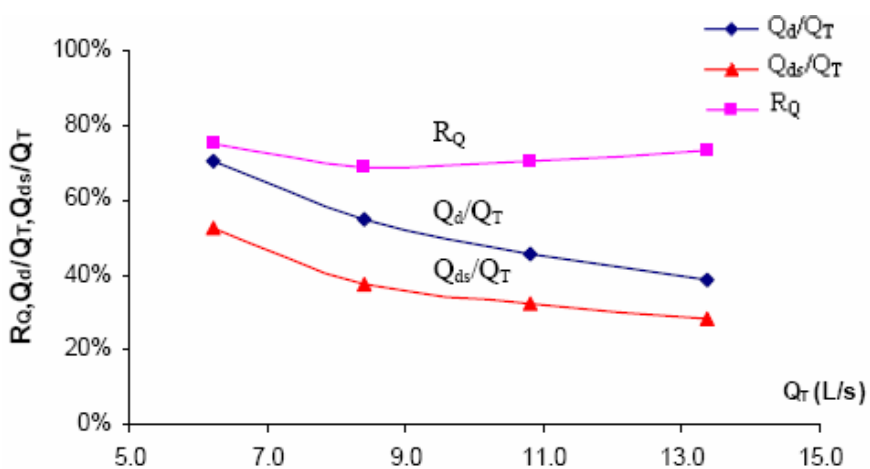
در شکل ۵ تأثیر متغیرهای مختلف بر روند تغییرات  $R_Q$  نشان داده شده است. نمودارهای مربوط به گذردهی نسبی ( $R_Q$ ) نشان دهنده درصد عبور دبی کanal تحتانی تحت شرایط مختلف از لحاظ شیب و رسوب بوده و با استناد به آن می‌توان مقایسه معنی داری با شرایط جریان زلال انجام داد.

مقایسه دانه‌بندیهای مختلف در شکل ۵-(الف) حاکی از آن است که درصد کاهش گذردهی نسبی در دانه‌بندیهای بزرگتر بیشتر بوده و هرچه دانه بندی ریزتر می‌شود اثر رسوب‌گرفتگی در محیط متخلخل کاهش یافته و دبی کanal تحتانی با شرایط جریان بدون رسوب تفاوت چندانی ندارد به طوری که در برخی حالات  $R_Q$  به ۸۵٪ نیز می‌رسد. شایان ذکر است که این نسبت تحت تأثیر شیب محیط متخلخل و نوع رسوبات نیز بوده که تأثیر این عوامل نیز بصورت مجزا قابل بررسی است.

در شکل ۵-(ب) مشاهده می‌شود که رسوبات S3 کمترین و رسوبات S1 بیشترین تأثیر را در کاهش گذردهی کanal انحراف داشته و گذردهی نسبی در این دو حالت به ترتیب بیش از ۶۰٪ و ۸۰٪ شرایط بدون رسوب است. علت بروز این روند را باید در بزرگ بودن قطر رسوبات S3 و کوچک بودن رسوبات S1 دانست که به ترتیب گرفتگی کمتر و بیشتری را در محیط متخلخل ایجاد می‌کنند. در نمودارهای اخیر نیز مانند شکل ۴ مشاهده می‌شود که رسوبات S4 حالتی مابین رسوبات S1 و S2 داشته و حدود ۶۰ تا ۷۰٪ جریان فاقد



(شکل ۵)- بررسی عوامل مختلف بر روند تغییرات  $R_Q$  در دبیهای مختلف. (الف) دانه بندی، (ب) رسوب و (ج) شیب محیط متخلخل



(شکل ۶)- مقایسه نسبی دبی تחתانی به دبی کل در جریان رسوبدار و زلال در یک حالت نمونه

(جدول ۲)- محدوده  $R_S$  برای شیوه‌های مختلف جعبه و بازه‌های

شیوه جعبه	$R_S$		
	۲/۵-۴/۵	۴/۵-۶	>۶
%	۰/۶-۰/۸	۰/۵-۰/۶	<۰/۵
%۱۰	۰/۷-۰/۹	۰/۶-۰/۷	<۰/۶
%۲۰	۰/۷۵-۰/۹۵	۰/۷۵-۰/۸	<۰/۷۵

۵۰٪ دانه‌بندی محیط متخلخل و  $d_{50}$  و  $d_{15}$  و  $d_{85}$  قطر الکی است که به ترتیب ۱۵، ۵۰ و ۸۵٪ رسوبات از آن ریزترند.  $S_p$  شیوه محیط متخلخل،  $\sigma$  ته نشینی ویژه،  $n$  متخلخل محیط متخلخل،  $\alpha$  گرادیان هیدرولیکی،  $r$  نسبت ارتفاع آب در کانال بالا دست به طول جعبه ( $H/L$ )،  $Fr$  عدد فرود جریان،  $Re$  عدد رینولدز،  $I=C/\rho_w$  نسبت غلظت آب رسوبدار (که حاصل تقسیم دبی رسوب بر دبی جریان بوده و بر حسب گرم بر لیتر تعریف می‌شود) به چگالی آب زلال و  $\Theta$  تنفس برشی بی بعد (فاکتور شیلدز) است که به شکل زیر تعریف می‌شود:

$$\Theta = \frac{HS_f}{(s-1)D_m} \quad (12)$$

در این معادله  $H$  عمق جریان بالا دست،  $S_f$  شیوه خط انرژی،  $s$  چگالی نسبی رسوبات (۲/۶۵) و  $D_m$  قطر متوسط دانه‌بندی محیط متخلخل است.

ضریب گذردهی محیط متخلخل ( $C_d$ ) وجود برخی عوامل سبب تفاوت دبی کانال انحراف بدست آمده در شرایط آزمایشگاهی با دبی بدست آمده از محاسبات هیدرولیکی می‌شود. برای تشخیص این عوامل ابتدا ضریب آبگذری ( $C_d$ ) را که

با توجه به تاثیر مستقیم  $R_S$  بر روند تغییرات  $R_Q$ ، در محدوده آزمایشات انجام شده می‌توان جدول ۲ را ارائه داد:

در جدول ۲ مشاهده می‌شود که در شیوه‌های بالاتر، نسبت گذردهی آبگیر در جریان رسوبدار و زلال بیشتر بوده و  $R_S$  های کمتر از ۴/۵ عملکرد بهتری دارند.

**تحلیل ابعادی و استخراج روابط حاکم**  
به منظور بررسی توان عوامل موثر بر روند تغییرات گذردهی آبگیر کفی با محیط متخلخل، با استفاده از نرم افزار SPSS ماینین متغیرها و پارامترهای بی بعد موجود رگرسیون چند متغیره گرفته شد. با توجه به رسوبدار بودن جریان، مجموع متغیرهای هیدرولیکی، هندسی و متغیرهای مربوط به رسوب و گرفتگی در آنالیز ابعادی مورد توجه قرار گرفت. مجموع پارامترهای بی بعدی که در این تحلیلها موثر شناخته شدند به شرح زیر است:

$$f(R_S, R_{15}, R_{50}, S_p, \sigma, n, i, j, Fr, Re, I, \Theta) = 0 \quad (10)$$

که در آن  $R_S$ ،  $R_{15}$  و  $R_{50}$  بصورت زیر بیان می‌شوند:

$$R_S = \frac{D_{15}}{d_{85}}, \quad R_{15} = \frac{D_{15}}{d_{15}}, \quad R_{50} = \frac{D_{50}}{d_{50}} \quad (11)$$

در رابطه (۱۱)،  $D_{15}$  و  $D_{50}$  به ترتیب قطر الکی است که ۱۵ و

مستقل معرفی شده رگرسیون چند متغیره می‌گیریم. عوامل موثر بر ضریب  $C_d$  به شرح زیر می‌باشند:

$$C_d = f(\text{Fr}, \text{Re}, i, \Theta, \sigma, R_{50}, S_p) \quad (16)$$

همانطور که مشاهده می‌شود، علاوه بر مشخصات هیدرولیکی جریان و مشخصات فیزیکی محیط متخلخل، تخلخل و درصد گرفتگی نیز بر ضریب گزندگی موثرند. بهترین رابطه غیر خطی که می‌توان برای ضریب دبی جریان نوشت به شکل معادله (۱۷) است:

$$C_d = 4.4 \times 10^{-4} \frac{\text{Fr}^{1.092} \Theta^{0.968} \text{Re}^{0.572} \sigma^{0.269}}{i^{3.157} R_{50}^{0.284} S_p^{0.074}} \quad (17)$$

در شکل ۷ نتایج حاصل از محاسبه ضریب  $C_d$  با استفاده از معادله (۱۷) و نتایج حاصل از اندازه‌گیریهای آزمایشگاهی با یکدیگر مقایسه شده است.

با توجه به شکل ۷ مشاهده می‌شود که همواره ضریب آبگذری آبگیر محیط متخلخل در جریان رسوبدار در بازه ۰/۰۵ تا ۰/۱۲ قرار می‌گیرد. ضریب تبیین معادله (۱۷) نیز با داده‌های آزمایشگاهی نزدیک به ۸۶٪ است.

#### معادله مقاومت نفوذی

با استفاده از معادله نفوذ سطحی دارسی می‌توان شرایط جریان در یک محیط متخلخل که دچار گرفتگی شده را بدست آورد (شالشی، ۱۹۹۵):

حاصل تقسیم دبی آزمایشگاهی بر دبی تئوری است محاسبه نموده و سپس به کمک رگرسیون چند متغیره به جستجوی متغیرهای موثر می‌پردازیم.

دبی تئوری را می‌توان از رابطه زیر محاسبه نمود:

$$Q_t = A \times V = A \times \sqrt{2g\Delta h} \quad (13)$$

که در آن  $\Delta h$  اختلاف ارتفاع آب در کanal بالادست و کanal تحتانی است.  $A$  نیز سطح مقطعی است که آب از آن به داخل محیط و سپس به کanal انحراف راه می‌یابد و مقدار آن را می‌توان از معادله ذیل بدست آورد:

$$A = W \times \frac{L}{\cos \alpha} \quad (14)$$

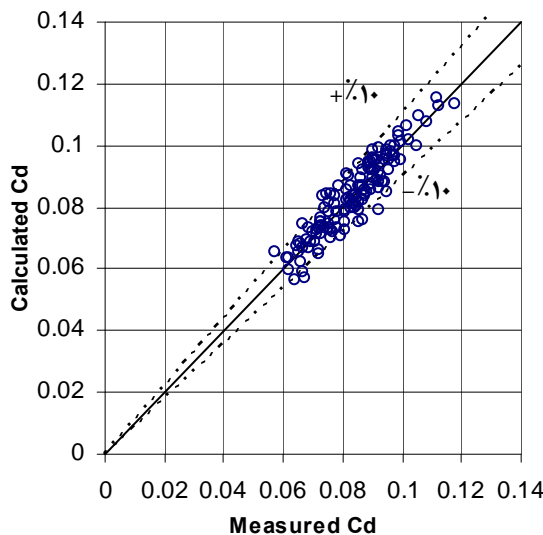
در معادله فوق  $W$  عرض،  $L$  طول تصویر افقی محیط متخلخل و  $\alpha$  شیب آن است.

با توجه با اینکه آب از فضای خالی مابین سنگدانه‌ها در فضای تخلخل عبور می‌کند بنابراین مساحت بدست آمده در ضریب  $n$  هرنوع سنگدانه باید ضرب شود.

در جریان رسوبدار، فضای تخلخل تحت اثر گرفتگی کاهش یافته و لذا ضریب  $n$  نیز کاهش خواهد یافت. نهایتاً با اعمال  $n$  اصلاح شده، معادله کلی برای محاسبه دبی عبوری به شکل زیر خواهد بود:

$$Q_r = C_d \times A_F \times V = C_d \times \frac{W \times L}{\cos \alpha} \times n \times \sqrt{2g\Delta h} \quad (15)$$

در معادله فوق  $C_d$  ضریب آبگذری آبگیر با محیط متخلخل است. حال برای تشخیص عوامل موثر بر ضریب  $C_d$  مابین متغیرهای



(شکل ۷) مقایسه ضریب  $C_d$  محاسباتی و ضریب  $C_d$  اندازه‌گیری شده

می‌شود، نشان دهنده مقاومت نفوذی اضافی ناشی از ته نشینی ذرات با جرم  $C\forall_A$  است. با جایگذاری  $\alpha$  در معادله (۲۲) داریم:

$$\frac{Q_d}{Q_{ds}} = 1 + \frac{\alpha}{2\beta} \quad (23)$$

مقایسه معادلات (۲) و (۳) نشان می‌دهد که هدایت هیدرولیکی محیط متخلخلی که دچار گرفتگی شده به میزان  $\Phi = \frac{2g\Delta h}{v} R_C$  جریان را کاهش داده است. ضریب  $R_C$  مبین مقاومت ناشی از گرفتگی بوده که در معادله (۲) به شکل  $R_C = r.C.t$  ارائه شده است. در این معادله  $r$  مقاومت نفوذی ویژه بوده و لذا داریم:

$$R_C = r.C.t = \frac{1.2 \times 10^{12} \cdot \Theta^{0.5}}{(d_{10}/d_m)^{3.5} \text{Re}^{1.5} t^{0.67}} C t \quad (24)$$

همانطور که مشاهده می‌شود  $r$  تابع رینولدز، گرادیان هیدرولیکی، فاکتور شیلدز و قطر ذرات محیط است.

طبق نظر وو و هوانگ (۲۰۰۰) برای حجمی از شن که رسوبات را بصورت آنی دریافت می‌کند، عبارت  $R_C$  مربوط به معادله (۲) را می‌توان به خاطر طبیعت فرآیند ته نشینی به شکل  $R_C = r' \sigma_s$  تغییر داده و معادله تجربی حاصله را به شکل زیر ارائه داد:

$$\begin{aligned} R_C &= r' \sigma_s \\ &= \exp(0.13X^3 - 2.26X^2 + 4.49X + 22.41) \\ X &= R_S^{-1.89} I^{0.13} V^{-1.71} \end{aligned} \quad (25)$$

مشاهده می‌شود که  $R_C$  مربوط به معادله (۳) تابع نسبت ذرات ( $R_S$ )، غلظت رسوبات ( $I$ ) و سرعت نشت ( $V$ ) تشخیص داده شده است. با بازنویسی معادلات (۲) و (۳) به شکل معادله (۲۶) داریم:

$$\beta^2 + \Phi = \left( \frac{Lg}{k_s v} \right)^2 \quad (26)$$

در معادله فوق  $k_s$  هدایت هیدرولیکی محیط متخلخل در شرایط جریان رسوبدار است. با انتخاب  $\beta_s = \frac{Lg}{k_s v}$  داریم:

$$\Phi = \beta_s^2 - \beta^2 \quad (27)$$

با استفاده از معادله فوق و داده‌های آزمایشگاهی،  $R_C$  مربوط به آبگیر کفی با محیط متخلخل تابع عوامل ذیل تشخیص داده شد:

$$R_C = f(R_{50}, i, \text{Re}) \quad (28)$$

بهترین معادله‌ای که با آن می‌توان  $R_C$  را تعریف کرد به این

$$\frac{d\forall_A}{dt} = \frac{A_F \Delta P_G}{\mu \left( \frac{rC\forall_A}{A_F} + \beta \right)} \quad (18)$$

در معادله فوق  $\Delta P_G$  اختلاف فشار ناشی از نفوذ ( $N/m^2$ ) و  $\mu$  ویسکوزیته دینامیک ( $kg/ms$ ) است. بقیه پارامترها در معادله (۲) معرفی شده‌اند. با انتخاب  $\Delta P_G = \rho g \Delta h$  گیری از معادله فوق خواهیم داشت:

$$\frac{rC\forall_A^2}{2A_F} + \beta \forall_A = \frac{A_F g \Delta h}{v} t \quad (19)$$

که در آن  $\beta$  تابع هدایت هیدرولیکی ماکریزم ( $k_0$ ) بوده و از رابطه زیر محاسبه می‌شود:

$$\beta = \frac{Lg}{k_0 v} \quad (20)$$

طبق معادله دارسی با داشتن سطح نفوذ می‌توان مقدار جریان ناشی از شب هیدرولیکی را از رابطه  $Q = k_0 \frac{\Delta h}{L} A_F$  بدست آورد. با جایگذاری این رابطه در معادله (۲۰) داریم:

$$\beta = \frac{g \Delta h A_F}{v Q} \quad (21)$$

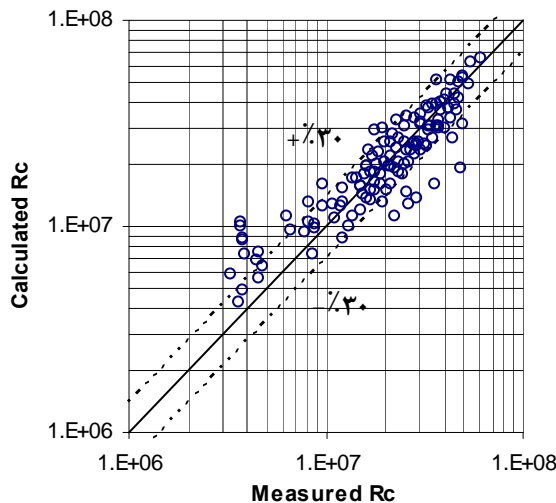
که در آن  $Q$  معادل دبی عبوری از محیط متخلخل تحت شرایط بدون رسوب است. لذا در مقایسه با شرایط آزمایشگاهی، این دبی را می‌توان در حکم دبی عبوری از کanal تحتانی قلمداد کرد ( $Q_d$ ). در معادله (۱۹)،  $\forall_A$  حجم نشت از محیط متخلخل تحت شرایط است که محیط دچار گرفتگی شده و لذا  $\forall_A / t$  دبی عبوری از محیط متخلخل تحت شرایط جریان رسوبدار خواهد بود. با انتخاب  $Q_s = \forall_A / t$  به عنوان دبی عبوری از محیط متخلخل در شرایط جریان رسوبدار و مقایسه با شرایط آزمایشگاهی،  $Q_s$  دبی کanal تحتانی در جریان رسوبدار خواهد بود ( $Q_{ds}$ ). با استفاده از معادله (۲۱) و جایگزینی  $Q_d$  در معادله (۱۹) داریم:

$$\frac{rC\forall_A}{2A_F} + \beta = \beta \frac{Q_d}{Q_{ds}} \quad (22)$$

طبق نظر شالشلی (۱۹۹۵)، عبارت  $\frac{rC\forall_A}{A_F}$  که با  $\alpha$  نشان داده

شکل است:

$$R_C = 5.7 \times 10^7 \frac{R_{50}^{1.991}}{\text{Re}^{0.68} i^{4.038}} \quad (29)$$



(شکل ۸) - مقایسه  $R_C$  محاسباتی و  $R_C$  اندازه‌گیری شده

نسبت اندازه ذرات محیط متخلخل به رسوبات و گرادیان هیدرولیکی از مهمترین عوامل موثر بر مقاومت ناشی از گرفتگی هستند.

### نتیجه گیری

در این مطالعه، سیستم جدیدی برای آبگیری از کف در آبراهه های طبیعی پیشنهاد شده که در آن محیط متخلخل تراوا جایگرین میله های شیکه آبگیر کفی شده است. هرچند گذردهی کanal انحراف در سیستم اخیر در مقایسه با آبگیری با کف مشبک کمتر است اما کارایی این سیستم در بلند مدت، عدم نیاز به نیروی انسانی جهت نگهداری، در دسترس بودن مصالح سنتکدانه ای در محل و اقتصادی بودن طرح اجرای آنرا توجیه می کند.

نتایج آزمایشگاهی نشان می دهد که گذردهی کanal انحراف تحت تاثیر نوع رسوبات رودخانه و دانه بندی محیط متخلخل آبگیر متغیر است اما پس از آنکه محیط متخلخل از لحاظ گرفتگی به حد تعادل رسید آبدی آبگیر ثابت می شود. مهمترین اقدام موثر جهت بهبود گذردهی آبگیر، انتخاب دانه بندی مناسب محیط متخلخل است و انتخاب نوع دانه بندی محیط متخلخل نیز متأثر از نوع رسوبات رودخانه و نسبت  $R_S$  است. در محدوده آزمایشات انجام شده در  $\leq 4/5$  گذردهی بهتری مشاهده شد. علاوه بر این مشاهده شد که ایجاد

در معادله فوق  $R_C$  با  $i$  و  $\text{Re}$  نسبت عکس داشته و لذا با افزایش گرادیان هیدرولیکی مقاومت در مقابل نفوذ کاهش و سرعت نفوذ افزایش می یابد. در آزمایشات نیز مشاهده می شود که در دیبهای بالا با افزایش گرادیان هیدرولیکی دبی کanal تحتانی افزایش نسبی نشان می دهد. لذا در مورد افزایش  $R_Q$  در دبی های بالا، علاوه بر اینکه گرفتگی محیط متخلخل کمتر شده، افزایش گرادیان هیدرولیکی و در نتیجه کاهش مقاومت نفوذی نیز تاثیر گذار بوده است. با افزایش  $R_{50}$  فضای تخلخل محیط متخلخل افزایش می یابد. در این حالت با راهیابی رسوبات بیشتر به محیط متخلخل گرفتگی نیز افزایش یافته و در نتیجه مقاومت نفوذی افزایش می یابد.

در شکل ۸ مقادیر محاسباتی بدست آمده از معادله (۲۹) و نتایج آزمایشگاهی با یکدیگر مقایسه شده اند. ضریب تبیین بین مقادیر محاسباتی و مقادیر اندازه گیری  $79/2\%$  بوده و  $R_C$  در بازه  $4 \times 10^6$  تا  $7 \times 10^7$  قرار می گیرد. ضریب  $R_C$  مربوط به  $R_S$  های بالاتر از  $6 \times 10^7$  تا  $3 \times 10^8$  های  $R_S$ ،  $7 \times 10^7$  تا  $4/5$  های  $1 \times 10^7$  تا  $3 \times 10^7$  و  $R_S$  های کمتر از  $4/5$  بین  $4 \times 10^6$  تا  $1 \times 10^7$  قرار گرفته اند. ملاحظه می شود که  $R_S$  های کمتر از  $4/5$  کمترین مقاومت نفوذ و لذا بهترین گذردهی را در آبگیری از محیط متخلخل دارند. مقایسه معادله (۲۹) با معادلات (۲۴) و (۲۵) نشان می دهد که

نفوذی نیز مشاهده می شود که افزایش گرادیان هیدرولیکی باعث افزایش نفوذپذیری می شود. شایان ذکر است که معادله مقاومت نفوذی بر اساس مطالعات آزمایشگاهی بدست آمده که در آن  $10 > R_{50} < 3400 < Re < 7800$  و  $i < 1 < 0.6$  محدوده آزمایشات را دربرمی گیرد.

شیب در سطح فوکانی محیط متخلخل آبگیر، گرفتگی سطحی را کاهش داده و رسوبات با سرعت بیشتری از سطح محیط عبور می کنند. به این ترتیب گذردهی سیستم نیز افزایش خواهد یافت. با استناد به معادله ضریب گذردهی می توان دریافت که گرادیان هیدرولیکی و شیب محیط متخلخل به ترتیب بیشترین و کمترین تاثیر را بر گذردهی دارند و لذا افزایش طول آبگیر از اقدامات موثری است که جهت افزایش گذردهی می توان انجام داد. در معادله مقاومت

#### منابع

- فغفور مغربی، م. و رزاز، م. (۱۳۸۵). "بررسی عددی و آزمایشگاهی رفتار هیدرولیکی آبگیرهای کفی"، هفتمین کنفرانس بین المللی عمران، دانشگاه تربیت مدرس.
- کورش وحید، ف. نقوی، ب. اسماعیلی، ک. و فغفور مغربی، م. (۱۳۸۷). "بررسی آزمایشگاهی خصوصیات هیدرولیکی جریان بر میزان آب انحرافی از رودخانه از طریق آبگیر کفی با محیط متخلخل" ، سومین کنفرانس مدیریت منابع آب ایران، دانشگاه تبریز.
- 3- Ahfir, N-D. Wang, HQ. Benamar, A. Alem, Abdellah. Massei, N. and Dupont J-P. (2007) "Transport and deposition of suspended particles in saturated porous media: hydrodynamic effect." *Hydrogeology Journal.*, Springer, 15, 659–668
- 4- Barton, M. H. and Buchberger, S. G. (2007). "Effect of media grain shape on particle straining during filtration." *J. Environ. Engng.*, ASCE, 133(2), 211-219
- 5- Behnke, J. J. (1969). "Clogging in surface spreading operations for artificial ground-water recharge." *Water Resour. Res.*, 5(4), 870–876.
- 6- Blazejesci, R., and Sadzide, M. B. (1997), "Soil clogging phenomena in constructed wetlands with surface flow." *Water Sci. Technol.*, 35(5), 183–188.
- 7- Bouvard, M. (1992). "Mobile barrages and intakes on sediment transporting rivers." *IAHR Monograph*, Balkema, Rotterdam, The Netherlands.
- 8- Brunella, S., Hager, W. H., and Minor, H.-E. (2003). "Hydraulics of bottom rack intake." *J. Hydr. Engng.*, ASCE, 129(1), 2–10.
- 9- Carling, P . A ., (1984)"Deposition of fine and coarse sand in an open-work gravel bed.", *Can . J . Fish . aquat . Sci.* 41, 263- 270 .
- 10- Cunningham, A. B., Anderson , C. J., and Bouwer, H. (1987). "Effect of sediment laden- flow on channel bed clogging." *J. Irrig. and Drain. Engng.*, ASCE, 113(1), 106-118.
- 11- Diplas, P. (1991). "Interaction of fine sediment with coarse gravel matrix." *Proc. of the Fifth Federal Interagency Sediment Conf.*
- 12- Field, R., Masters, H., and Singer, M. (1982). "Porous pavement: Research, development, and demonstration." *J. Transp. Engng.*, ASCE, 108(3), 244–258.
- 13- Lone, M. A., Hussain, B., and Asawa, G. L. (2005). "Filter Design Criteria for Graded Cohesionless Bases." *J. Geotech. and Geoenviron. Engng.*, ASCE, 131(2), 251-259
- 14- Mizuyama, T., and Mizuno, H. (1994). "Behavior of debris flow at control structures." Proc., *IAHR Int. Workshop on Floods and Inundations Related to Large Earth Movements*, C2.1-C2.12.
- 15- Mucha, I., Banský, U., Hlavatý, Z., and Rodák, D. (2006). "Impact of river bed clogging-colmatation-on ground water.", *Journal of Riverbank Filtration Hydrology*, Springer. 43–72.
- 16- Righetti, M., Lanzoni, S. (2008). "Experimental study of the flow field over bottom intake racks." *J. Hydr. Engng.*, ASCE, 134(1), 15-22
- 17- Sakthivadivel, R., and Einstein, H. A. (1970). "Clogging of porous column of spheres by sediment." *J. Hydr. Div.*, ASCE, 96(2), 461–472.
- 18- Sherard, J. L., Dunnigan, L. P., and Talbot, J. R. (1984). "Basic properties of sand and gravel filters." *J. Geotech. Engng.* ASCE, 110(6), 684– 700.
- 19- Schälchli, U. (1992). "The clogging of coarse gravel river beds by fine sediment " *Journal of Hydrology. Engng.*, Springer, 189-197
- 20- Schälchli, U. (1995). "Basic equations for siltation of river beds." *J. Hydr. Engng.*, ASCE, 121(3), 274–287.
- 21- Sowers, G. B., and Sowers, G. F. (1970). *Introductory soil mechanics and foundations*. Macmillan, New York.
- 22- Tan, S. A., Fwa, T. F., and Han, C. T. (2003). "Clogging evaluation of permeable bases." *J. Transp. Engng.* ASCE, 129(3), 309- 315
- 23- Wu, F. C., and Huang, H. T., (2000)." Hydraulic resistance induced by deposition of sediment in porous media." *J.*

*Hydr. Engrg.*, ASCE, 126( 7), 547-551



## Experimental study of diverted discharge of bottom intakes with porous media in sediment flow

B. Naghavi<sup>1</sup> - S. R. Khodashenas<sup>2\*</sup> - M. Faghfur Maghrebi<sup>3</sup> - K. Esmaili<sup>4</sup> - F. Kurosh vahid<sup>5</sup>

### Abstract

Bottom rack intake is one of the most popular structures used for diverting water in mountain region. Corrosion and rotten problems of bottom racks inspire the introduction of a new system of bottom intake in which a porous media is replaced by the bottom rack. Obviously, clogging and reduction of diverted discharge are the most important problems in this new system, too. In this paper, the effects of different media grain size, longitudinal slope, sediment grain size and flow discharge are investigated. Results show that despite of clogging role of suspended sediments in porous media, using appropriate grain size and slope for the porous media, would attenuate the side effects of the problem. Compare with clear water flow, the discharge reduction induced by clogging is not significant and efficiency of system in long time and no operation effort are confirmed. To recognize the effective parameters on infiltration resistance in porous medium intake an empirical theoretical formulation has been diverted from the Darcy's law in surface infiltration. The equation is found to be dependent on size ratio, Reynolds number and hydraulic gradient. The theoretical predictions have been compared with experimental results, with good agreement.

**Key words:** Bottom intake, Porous media, clogging, Discharge reduction, Infiltration resistance

1- M.Sc. student of Water Structures, Department of Water Engineering, Faculty of Agriculture, Ferdowsi University of Mashhad  
2- Assistant professor of Water Engineering, Faculty of Agriculture, Ferdowsi University of Mashhad,

(\* - Corresponding author Email: Saeedkhodashenas@yahoo.fr)

3- Associate professor of Civil Engineering, Faculty of Engineering, Ferdowsi University of Mashhad

4- Assistant professor of Water Engineering, Faculty of Agriculture, Ferdowsi University of Mashhad

5- M.Sc. student of Water Structures, Department of Water Engineering, Faculty of Agriculture, Ferdowsi University of Mashhad